

## بررسی پارامترهای الکتروفورتیک نانوذرات اکسید تیتانیوم در ساخت فتوآند سلول

### خورشیدی حساس شده با رنگینه

مهردیه سلمانی<sup>۱</sup>، علی مشرقی<sup>۲\*</sup>

(تاریخ دریافت: ۱۳۹۶/۰۵/۰۱، ش.ص: ۲۴-۱۳، تاریخ پذیرش: ۰۹/۰۴/۱۳۹۷)

#### چکیده

فوتوآند نیمه هادی حساس شده با رنگینه، نقش مهمی در تبدیل فوتون‌ها به انرژی الکتریکی ایفا می‌کند. به منظور رسیدن به سلول‌هایی با بازده بالا، تهیه الکتروود با مساحت سطحی بالا که به جذب رنگینه کافی منتهی شود، الزامی است. یک روش موثر برای کنترل تخلخل، مساحت سطحی و چگالی فیلم، روش رسوب دهی الکتروفورتیک نانوذرات اکسید تیتانیوم است. در این مقاله از روش رسوب دهی الکتروفورتیک برای ایجاد لایه متخلخل اکسید تیتانیوم بر روی شیشه شفاف رسانا، به عنوان فتوآند سلول خورشیدی حساس شده با رنگینه استفاده شد. ابتدا تاثیر شیمی محلول بر ایجاد و پایداری سوسپانسیون نانوذرات اکسید تیتانیوم و امکان ایجاد پوشش مورد بررسی قرار گرفت. محلول با کارآیی بالا انتخاب شد و پس از آن تاثیر پارامترهای فرآیند الکتروفورتیک مانند ولتاژ و زمان رسوبدهی و نیز غلظت ید و آب در سوسپانسیون نانوذرات بر پوشش ایجاد شده مورد بررسی قرار گرفت. در نهایت از پوشش نانومتتخلخل به دست آمده به عنوان فتوآند سلول خورشیدی حساس شده با رنگینه استفاده شد و کارآیی آن مورد بررسی قرار گرفت. منحنی ولتاژ- جریان سلول خورشیدی حاصل تحت تابش نور لامپ زنون اندازه‌گیری و محاسبه گردید. سلول ساخته شده با فتوآندی که تحت ولتاژ ۳۰ ولت و به مدت ۸ دقیقه الکتروفورتیک گردید، بهترین عملکرد را از خود نشان داد. ضخامت لایه نانومتتخلخل  $TiO_2$  این فتوآند ۱۳ میکرومتر بود. چگالی جریان مدار کوتاه، ولتاژ مدار باز و بازده این سلول به ترتیب  $0.93 \text{ میلی آمپر بر سانتی متر مربع}$ ،  $455 \text{ میلی ولت}$  و  $0.18\%$  برای این سلول مشاهده گردید.

**واژه‌های کلیدی:** رسوب دهی الکتروفورتیک، نانوذرات اکسید تیتانیوم، سلول خورشیدی حساس شده با رنگینه، فتوآند.

<sup>۱</sup>- دانشجوی کارشناسی ارشد، دانشگاه صنعتی شیراز.

<sup>۲</sup>- دانشیار مهندسی و علم مواد، دانشگاه صنعتی شیراز.

\*- نویسنده مسئول مقاله: mashreghi@sutech.ac.ir

فرمی و ولتاژ مدار باز بالاتری را در سلول برای غلظت الکترونی یکسان در باند رسانش، فراهم می‌کند [۱ و ۳].

تکنیک رسوب‌دهی الکتروفورتیک دارای کاربردهای فراوان در ساخت مواد سرامیکی پیشرفت‌ه و پوشش‌هاست. دو مزیت عمده آن، قابلیت این روش در رسوب دهی مواد و ترکیبات مختلف و هزینه پایین این فرآیند می‌باشد. رسوب‌دهی الکتروفورتیک در سال ۱۸۰۸ میلادی توسط دانشمند روسی به نام رائوس<sup>۱</sup> با حرکت ذرات رس در آب در اثر میدان الکتریکی مشاهده شد؛ اما اولین اثر علمی از آن در سال ۱۹۳۳ با نشست ذرات توریا بر کاتد پلاتینیم به عنوان گسیلنده در تیوب الکترونی انجام شد. این پدیده در سال ۱۹۸۰ میلادی توسط هاماکر<sup>۲</sup> در مورد سرامیکها مورد بررسی قرار گرفت و مسیر حرکت آن به سمت شکل-دهی سرامیک‌های پیشرفت‌ه و لایه‌های نازک تغییر یافت [۶ و ۷]. استفاده از روش الکتروفورتیک در ساخت فتوآند سلول خورشیدی حساس شده با رنگینه برای اولین بار توسط متیوس<sup>۳</sup> و همکارانش در سال ۱۹۹۴ گزارش شد [۸]. مهاجرت ذرات باردار در میدان الکتریکی تحت اثر نیروی الکتریکی را الکتروفورز می‌نامند [۹]. در سال ۲۰۰۹ ویرات<sup>۴</sup> و همکارانش [۱۰] فتوآند حاصل از پوشش‌دهی الکتروفورتیک نانوذرات  $TiO_2$  را برای کاربرد در سلول خورشیدی حساس شده با رنگینه بهینه کردند. سپس، در سال ۲۰۱۱ رسوب‌دهی نانوذرات  $TiO_2$  بر روی زیرلایه شفاف رسانای انعطاف پذیر انجام شد و در ساخت سلول خورشیدی انعطاف پذیر حساس شده با رنگینه مورد استفاده قرار گرفت [۱۱]. با ایجاد شرایط مناسب می‌توان با پایدارسازی ذرات در محلول و از طریق الکتروفورز پوشش مناسبی بر روی لایه مورد نظر اعمال کرد. رسوب‌دهی الکتروفورتیک یک فرایند دو مرحله‌ای است. در مرحله اول، ذرات باردار معلق در سوسپانسیون در اثر اعمال میدان الکتریکی، به سمت الکتروود با مخالف حرکت می‌کنند (الکتروفورز). در مرحله دوم، ذرات روی الکتروود رسوب کرده و فیلم متراکم و یکنواختی را ایجاد می‌کنند. پارامترهای مؤثر در این فرایند عبارتند از چگالی سطحی بر روی ذرات،

## پیشگفتار

سلول‌های نسل سوم، از نوع سلول‌های فتوالکتروشیمیایی و شامل فتوالکترود، الکتروولیت اکسایشی-کاهشی و الکتروود مقابله باشند که بسیار مورد توجه قرار گرفته‌اند. در قلب این سلول‌ها، لایه‌ای متخخلخ از ذرات نانومتری وجود دارد. ماده‌ی انتخابی معمولانانوذرات  $TiO_2$  است؛ اما اکسیدهای دیگر با گاف انرژی مشابه مانند  $ZnO$  و  $Nb_2O_5$  نیز مورد بررسی قرار گرفته‌اند. تک لایه‌ای از رنگینه روی سطح فیلم نانومتخخلخ جذب می‌شود [۱]. برانگیختگی نوری رنگینه، به تزریق یک الکترون به باند رسانش اکسید تیتانیوم و تولید کاتیون رنگینه منتهی می‌شود. با ورود الکترون از الکتروولیت، رنگینه احیاء می‌شود. الکتروولیت، معمولًا شامل یک جفت اکسایش-کاهش- $I^3/I^-$  حل شده در یک حلآلی مایع است. احیای رنگینه توسط رنگینه اکسید شده گیراندازی تزریقی به نیمه‌رسانا توسط رنگینه اکسید شده می‌شود. با ورود الکترون از الکتروود مقابله، الکتروولیت احیاء شده و مدار الکتریکی با انتقال الکترون در مدار خارجی کامل می‌شود [۲].

اکسید نیمه‌رساناهای استفاده شده در سلول خورشیدی حساس شده با رنگینه برای ساخت فتوالکترود شامل  $Nb_2O_5$ ،  $SnO_2$ ،  $ZnO$ ،  $TiO_2$  می‌باشد [۱ و ۳]. به دلیل قیمت پایین، غیررسمی بودن و سازگاری با محیط زیست، فراوانی و در دسترس بودن، فعالیت فتوکاتالیستی بالا، عدم فرسایش و خوردگی،  $TiO_2$  تاکنون بهترین انتخاب برای فتوالکتروود بوده است [۴]. بهترین نیمه‌رسانای مورد استفاده با توجه به گاف انرژی آن،  $TiO_2$  بوده که دارای دو ساختار کریستالی آناتاز و روتایل با گاف انرژی به ترتیب برابر  $3/2$  و  $3$  الکترون‌ولت می‌باشد که منجر به جذب طول موج‌های کمتر از  $420$  نانومتر (فرابنفش) می‌شود [۵]. ساختار آناتاز به دلیل گاف انرژی و لبه باند رسانش بزرگ‌تر، برای استفاده در سلول خورشیدی حساس شده با رنگینه مناسب‌تر است. بزرگ‌تر بودن گاف انرژی این ساختار کریستالی، سطح

<sup>1</sup>- Rues

<sup>2</sup>- Hamaker

<sup>3</sup>- Mattews

<sup>4</sup>- Wirat

سوسپانسیون شماره ۴: ابتدا  $0.048\text{ g}$  نانوذرات  $\text{TiO}_2$  و مقدار  $0.024\text{ g}$  میلی لیتر استیل استون درون  $20\text{ ml}$  لیتر اتانول پراکنده شد. سپس در ظرفی دیگر مقدار  $0.081\text{ ml}$  لیتر استون و مقدار  $0.01\text{ ml}$  گرم ید درون  $13.5\text{ ml}$  لیتر اتانول حل شد. محلول اخیر، به عنوان محلول باردار و برای کمک به پروتون دهی بهتر به نانوذرات  $\text{TiO}_2$  و به عنوان بهبد دهنده سطح نانوذرات  $\text{TiO}_2$ . به محلول اول اضافه شد. پس از هم زدن با همزن مغناطیسی به مدت  $18$  دقیقه با پروب آلتراسونیک همگن سازی شد.

سوسپانسیون شماره ۵: ترکیب شیمیایی و نحوه آماده سازی آن شبیه سوسپانسیون شماره ۴ است با این تفاوت که از حلal ایزوپروپانول به جای اتانول استفاده گردید.

سوسپانسیون شماره ۶: ترکیب شیمیایی و نحوه آماده سازی آن شبیه سوسپانسیون شماره ۵ است با این تفاوت که مقداری آب به محلول باردار اضافه گردید.

### بررسی پارامترهای فرآیند الکتروفورتیک برای ایجاد پوشش نانومتخلخل اکسید تیتانیوم

در فرآیند رسبوگذاری الکتروفورتیک از شیشه رسانای FTO با ابعاد  $1.5 \times 2.5 \text{ cm}^2$  یک سانتی متر مربع به عنوان کاتد برای رسوب نانوذرات  $\text{TiO}_2$  و فولاد ضد زنگ به ابعاد  $1.5 \times 2.5 \text{ cm}^2$  سانتی متر مربع به عنوان آند که به شرح زیر آماده سازی شدند، استفاده شد. قبل از لایه نشانی، شیشه رسانای FTO به کمک دستگاه تمیز کننده آلتراسونیک درون حلال های استون، اتانول و ایزوپروپیل الكل هر کدام به مدت  $3$  دقیقه قرار گرفت تا هرگونه آلودگی از روی سطح شیشه برداشته شود. سطح زیرلایه فولاد ضدزنگ با سمباده های  $800$ ،  $1000$ ،  $1200$ ،  $1400$  و  $1600$  صاف و بعد از آن با سوسپانسیون پولیش آلومینا آینه ای و صیقلی و بعد از آن با آب مقطر و استون شسته و کاملا تمیز شد. بعد از آماده سازی زیرلایه ها، به قسمت رسانای FTO و به فولاد DC ضدزنگ، سیمه های سوسмарی وصل و به منبع تغذیه متصل شد. کاتد به قطب منفی و آند به قطب مثبت منبع تغذیه وصل و درون ظرف سوسپانسیون با فاصله  $1.5$  سانتی متر از یکدیگر قرار داده شد. سپس، سوسپانسیون نانوذرات اکسید تیتانیوم درون ظرف پوشش دهی ریخته شد و فرایند الکتروفورتیک در ولتاژ های مختلف و در زمان های متفاوت انجام شد. پارامترهایی که مورد بررسی قرار

شدت میدان الکتریکی، اندازه، جنس و غلظت ذرات، جنس الکترودها، نوع محلول و نحوه ایجاد تلاطم.

در این مقاله، تاثیر شیمی محلول الکتروفورتیک و نیز تاثیر پارامترهای فرآیند الکتروفورتیک بر ایجاد لایه نانومتخلخل  $\text{TiO}_2$  و در نهایت کارآیی آن به عنوان فتوآند سلول خورشیدی حساس شده با رنگینه مورد بررسی قرار می گیرد.

## مواد و روش ها

### بررسی تاثیر شیمی محلول بر ایجاد پوشش نانومتخلخل اکسید تیتانیوم

در این مقاله محلول های متفاوتی برای ایجاد سوسپانسیون نانوذرات اکسید تیتانیوم در فاز مایع مورد استفاده قرار گرفت. نانوذرات اکسید تیتانیوم مورد استفاده محصول شرکت US-nano بود که حاوی  $100\%$  فاز آناتاز و با اندازه ذرات  $20$  تا  $30$  نانومتر می باشد. تصاویر میکروسکوپ الکترونی عبوری و الگوی پراش پرتو ایکس نانوذرات اکسید تیتانیوم مورد استفاده در مقالات قبلی نویسنده این مقاله آورده شده است [۱۲]. این سوسپانسیون ها شماره گذاری شده اند و ترکیب شیمیایی هر کدام در جدول ۱ آمده است. در ادامه جزئیات تهیه هر سوسپانسیون به تفصیل بیان می گردد.

سوسپانسیون شماره ۱: برای ساخت این سوسپانسیون از استون به عنوان حلal و ید به عنوان اضافه شونده استفاده شد. همه مواد را داخل یک ظرف در بسته  $50\text{ ml}$  لیتری ریخته، سپس به مدت  $3$  ساعت روی همزن مغناطیسی قرار داده شد تا هم زده شود.

سوسپانسیون شماره ۲: این سوسپانسیون همانند سوسپانسیون شماره ۱ ساخته شد. سوسپانسیون به مدت  $3$  ساعت روی همزن مغناطیسی هم زده شد و سپس به مدت  $18$  دقیقه با پروب آلتراسونیک همگن سازی گردید. مشاهده گردید که در حین آلتراسونیک کردن، استون تبخیر می شود، به همین دلیل به منظور ثابت نگه داشتن ترکیب محلول استون به سوسپانسیون اضافه می شد. از این پس سوسپانسیون های دیگر (شماره ۲ تا ۶) به همین شیوه همگن سازی گردید.

سوسپانسیون شماره ۳: همانند سوسپانسیون شماره ۲ بود با این تفاوت که از حلal اتانول استفاده شد.

به منظور مونتاژ کردن سلول خورشیدی، الکترود حاوی لایه  $TiO_2$  و الکترود مقابله آن باید به یکدیگر چسبیده تا محفظه‌ای بین آن‌ها برای الکتروولیت به وجود آید. با استفاده از پارافیلم حوضچه‌ای به اندازه سطح موثر لایه پوشش  $TiO_2$  روی الکترود آند برای تزریق الکتروولیت ایجاد شد. بعد از اعمال حوضچه، آند و کاتد روی یکدیگر قرار داده شد و با گیره کاغذگیر به هم متصل شد. سپس الکتروولیت با سرنگ و از طریق سوراخ‌های موجود در نمونه کاتد تزریق و سلول آماده تست گردید.

برای بررسی عملکرد سلول خورشیدی حاصل و ارزیابی کارآیی فوتوآندهای ساخته شده به روش الکتروفورتیک، منحنی چگالی جریان-ولتاژ آن‌ها اندازه گیری گردید. بدین منظور، از نور لامپ زنون به عنوان شبیه ساز خورشید (با شدت  $83/5$  میلی وات بر سانتیمتر مربع) استفاده شد و منحنی جریان ولتاژ با استفاده از یک اسیلوسکوپ رسم گردید.

## نتایج و بحث

ابتدا به بررسی ترکیب شیمیایی سوسپانسیون پرداخته می‌شود. سوسپانسیون شماره ۱ سیار ناپایدار بود به گونه‌ای که پس از برداشتن آن از روی همزن بلافضله نانوذرات ته نشین شد. برای بررسی اینکه آیا دلیل این امر همzen نامناسب سوسپانسیون است یا نه، سوسپانسیون شماره ۲ با همان ترکیب شیمیایی سوسپانسیون شماره ۱ آماده شد؛ اما پس از همzen با همزن مغناطیسی، با پروف آلتراسونیک همگن سازی شد. با این حال همانند سوسپانسیون شماره ۱ پس از برداشتن از روی همزن بلافضله نانوذرات درون آن ته نشین گردید. در سوسپانسیون شماره ۳ از حلال اتانول استفاده شد. این بار پایداری سوسپانسیون بهمودیافت؛ اما در فرایند الکتروفورتیک هیچ پوششی ایجاد نشد. برای رفع مشکل سوسپانسیون ۳، این بار در سوسپانسیون شماره ۴ ترکیب استون و ید به عنوان محلول باردار و کمک به پروتوندهی بهتر به اتانول اضافه شد و از استیل استون هم به عنوان بهبود دهنده سطح نانوذرات  $TiO_2$  استفاده شد. این سوسپانسیون پایداری خیلی خوبی نشان داد و نانوذرات پس از چندین ساعت نیز ته نشین نشدند. پس از ۳ ساعت فرایند الکتروفورتیک در ولتاژ ۳۰ ولت پوشش نانومتلخلخل اکسید تیتانیوم روی FTO تشکیل شد.

گرفت عبارتند از: ولتاژ اعمالی در حین فرآیند الکتروفورتیک، زمان پوشش دهی الکتروفورتیک، بررسی تاثیر مقدار آب و ید درون سوسپانسیون. در این بخش از سوسپانسیون بهینه شماره ۶ استفاده شد. ضخامت پوشش تشکیل شده با استفاده از یک ریزسنج با دقیقه ۱ میکرومتر اندازه گیری شد. برای این کار ضخامت زیر لایه FTO به تنها یکی و بعد از لایه نشانی پوشش  $TiO_2$  اندازه گیری شد و از تفاوت این دو ضخامت مقدار ضخامت پوشش به دست آمد.

## ساخت سلول خورشیدی حساس شده با رنگینه

چند نمونه از پوشش‌های نانومتلخلخل ایجاد شده روی FTO انتخاب و به عنوان فیلم مورد استفاده در ساخت فتوآنده کار گرفته شد. به منظور بهبود اتصال بین نانوذرات  $TiO_2$  با یکدیگر و به سطح FTO نمونه‌ها تحت فرایند تفجوشی قرار گرفتند. نمونه به مدت ۹۰ دقیقه به دمای ۴۸۰ درجه سانتیگراد رسید و سپس به مدت ۴۰ دقیقه در  $TiO_2$  این دما نگهداری شد. سطح موثر پوشیده شده با برای ساخت سلول خورشیدی حدود ۰/۸ سانتیمتر مربع انتخاب گردید. به منظور حساس سازی با رنگینه، فوتوآنده ساخته شده به مدت ۲۴ ساعت درون محلول پایه الکلی مرکوروکروم قرار گرفت. برای ساخت الکترود کاتد، روی FTO مورد نظر برای تزریق مناسب الکتروولیت و خروج هوای محبوس بین دو الکترود پس از کنار هم قرار دادن، دو سوراخ به قطر ۱ میلی‌متر ایجاد شد، سپس شیشه فوق در سه حمام استون، اتانول و ایزوپروپیل الکل هر کدام به مدت ۳۸۰ ثانیه در دستگاه آلتراسونیک قرار داده شد. در مرحله بعد محلول الکلی ۱۰ میلی مولار  $H_2PtCl_6.6H_2O$  ساخته و چند قطره از این محلول با سرنگ روی شیشه FTO تمیز شده در مرحله قبل ریخته شد تا همه جای شیشه را آغشته کند. بعد از خشک کردن در هوا، نمونه فوق در کوره قرار داده شد و به مدت ۳۰ دقیقه در دمای ۴۸۰ درجه سانتیگراد حرارت داده شد. دمای نمونه به مدت ۹۰ دقیقه از دمای محیط به دمای ۴۸۰ درجه سانتیگراد رسید. برای تهیه الکتروولیت، از لیتیم یدید ( $LiI$ )، ید ( $I_2$ ) و استونیتریل استفاده شد. محلول  $۰/۳$  مولار لیتیم یدید و  $۰/۰۳$  مولار ید در استونیتریل ساخته شد و به مدت ۲۴ ساعت روی دستگاه همزن مغناطیسی قرار داده شد تا انحلال به خوبی صورت گیرد.

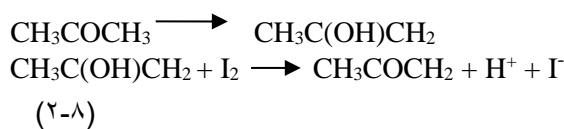
جدول شماره ۱ - ترکیب شیمیایی سوسپانسیون های مختلف حاوی نانوذرات اکسید تیتانیوم

شماره سوسپانسیون	حلال	ید (گرم بر لیتر)	استون (میلی لیتر)	آب (میلی لیتر)	نانوذرات اکسید تیتانیوم (گرم بر لیتر)	روش مخلوط سازی
۱	استون	۰/۸			۱/۴	همزن مغناطیسی
۲	استون	۰/۸			۱/۴	پروب آltrاسونیک
۳	اتانول	۰/۸			۱/۴	پروب آltrاسونیک
۴	اتانول	۰/۳۲۸	۲/۴	۰/۷۲	۱/۴	پروب آltrاسونیک
۵	ایزوپروپانول	۰/۳۲۸	۲/۴	۰/۷۲	۱/۴	پروب آltrاسونیک
۶	ایزوپروپانول	۰/۳۲۸	۲/۴	۰/۷۲	۱/۴	پروب آltrاسونیک

جدول ۲ - پایداری سوسپانسیون های مختلف نانوذرات اکسید تیتانیوم و امکان تشکیل پوشش از آنها

شماره سوسپانسیون	پایداری سوسپانسیون	امکان تشکیل پوشش
۱	بلافاصله نانوذرات اکسید تیتانیوم ته نشین شد.	پوشش تشکیل نشد.
۲	بلافاصله نانوذرات اکسید تیتانیوم ته نشین شد.	پوشش تشکیل نشد.
۳	پایداری متوسط	پوشش تشکیل نشد.
۴	پس از گذشت چند ساعت نیز نانوذرات اکسید تیتانیوم ته نشین نشد.	پوشش تشکیل شد.
۵	پس از گذشت چند ساعت نیز نانوذرات اکسید تیتانیوم ته نشین نشد.	پوشش تشکیل شد.
۶	پس از گذشت چند ساعت نیز نانوذرات اکسید تیتانیوم ته نشین نشد.	پوشش تشکیل شد.

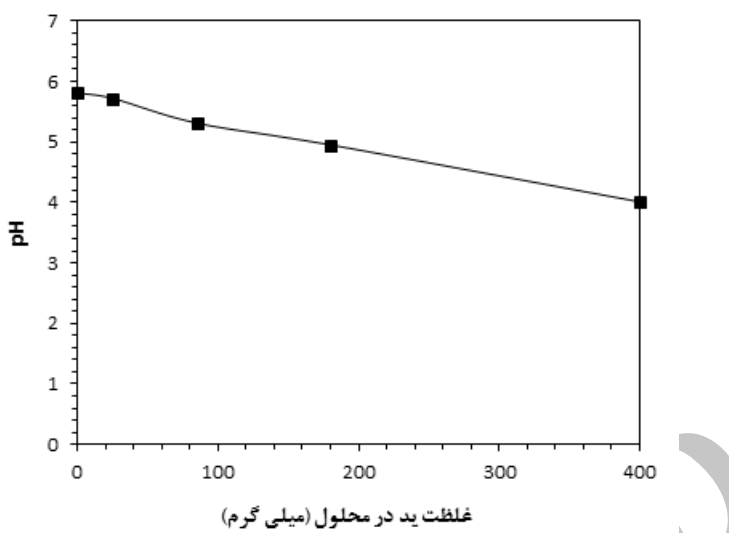
کند. از بین نوکلوفیل‌ها بهترین آن‌ها برای جداسازی  $H^+$ ,  $I_2$  است. در این ترکیبات  $H^+$  خاصیت اسیدی داشته و هر چه تعداد گروه  $CO$  یعنی همان گروه کربونیل بیش‌تر باشد، تعداد  $H$  اسیدی بیش‌تر بوده و باید مقدار بیش‌تری  $I_2$  استفاده کرد. به همین‌دلیل در استیل استون چون  $H$  در گیر دو گروه کربونیل است، از نظر سینتیکی باید مقدار بیش‌تری  $I_2$  نسبت به استون، به کار برد تا  $H^+$  آزاد گردد. غلظت  $I_2$  در سوسپانسیون یک پارامتر مهم برای ایجاد یک رسوب با کیفیت است. واکنش استون با ید به صورت زیر است [۱۱].



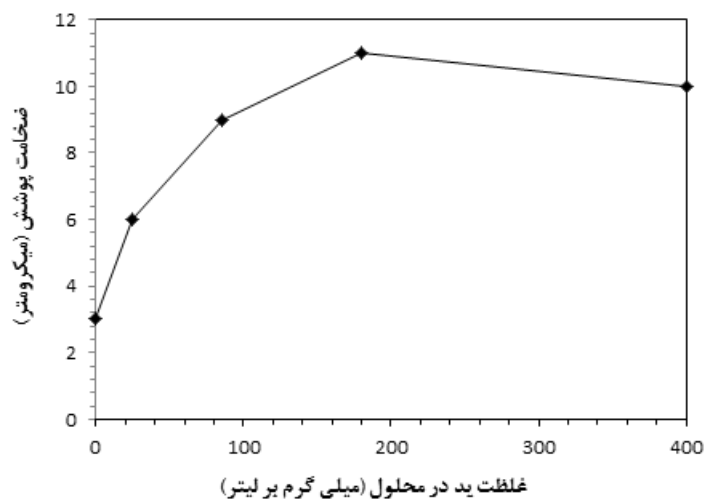
به منظور بررسی اثر غلظت ید در سوسپانسیون شماره ۶، این سوسپانسیون با غلظت‌های ۰، ۲۵، ۸۵، ۱۸۰ و ۴۰۰ میلی گرم بر لیتر ساخته و به مدت ۳ دقیقه تحت ولتاژ ۳۰ ولت رسوبدهی الکتروفورتیک شد. شکل نمودار تغییرات pH محلول بر حسب غلظت ید موجود در سوسپانسیون را نشان می‌دهد. همان‌گونه که مشاهده می‌شود، افزودن ید منجر به کاهش pH شده، که این امر ناشی از آزاد شدن یون‌های  $H^+$  در سوسپانسیون در اثر افزودن ید و جذب آن روی سطح نانوذرات  $TiO_2$  می‌باشد. ید با استون موجود در سوسپانسیون، وارد واکنش شده و به کربن متصل به  $CH_3$  حمله کرده و  $H^+$  را از آن جدا می‌کند [۱۰-۹ و ۱۳]. شکل ۲ منحنی تغییرات ضخامت پوشش به دست آمده پس از تفجیشی بر حسب مقدار ید موجود در سوسپانسیون را نشان می‌دهد. همان‌گونه که مشاهده می‌شود، افزودن ید منجر به افزایش ضخامت پوشش  $TiO_2$  شده است؛ اما با ادامه افزودن ید، افت رسوب و به دنبال آن کاهش ضخامت را به دنبال داشته است که دلیل آن آزاد سازی گاز هیدروژن گزارش شده است [۱۰]. یون‌هایی که روی سطح نانوذرات  $TiO_2$  در سوسپانسیون جذب نمی‌شوند، باعث افزایش استحکام یونی شده در نتیجه سبب کوچک شدن لایه دوگانه الکتریکی روی سطح ذره می‌گردد که منجر به آگلومره شدن ذرات و کاهش کیفیت فیلم رسوب داده شده می‌شود.

یکی از مشکلات موجود در این سوسپانسیون، زمان بر بودن تشکیل رسوب بر روی سطح کاتد می‌باشد. دلایل زمان بر بودن تشکیل پوشش بر روی سطح کاتد فقدان آب کافی در سوسپانسیون برای کمک به ید برای انجام واکنش می‌باشد [۹ و ۱۳]. برای رفع این مشکل ابتدا حلال اتانول با ایزوپروپانول برای ساخت سوسپانسیون شماره ۵ جایگزین شد. تمام مراحل طبق سوسپانسیون شماره ۴ انجام شد، با این تفاوت که در اینجا از ایزوپروپیل الکل به عنوان حلال استفاده شد. بعد از گذشت ۳ ساعت پوشش تشکیل شده روی سطح کاتد، یکنواخت و از پوشش سوسپانسیون ۴ یکنواخت‌تر و ضخیم‌تر شد. تغییر دیگر برای رفع مشکل کند بودن فرآیند پوشش دهی الکتروفورتیک اضافه کردن آب به سوسپانسیون شماره ۵ و ساخت سوسپانسیون شماره ۶ بود. تمامی مراحل ساخت این سوسپانسیون، مانند سوسپانسیون ۵ بوده، با این تفاوت که در اینجا برای رفع مشکل طولانی بودن زمان، به محلول باردار نصف مقدار استون، آب اضافه گردید. بعد از گذشت ۵ دقیقه پوشش یکنواخت و همگن روی سطح تشکیل شد. با استفاده از این سوسپانسیون تاثیر زمان انجام واکنش ثابت بر روی ولتاژهای متفاوت در زمان انجام واکنش ثابت از این، ضخامت و وزن پوشش تشکیل شده مورد بررسی قرار گرفت. سپس، چند نمونه از این پوشش‌ها انتخاب شد و به عنوان فیلم مورد استفاده در ساخت فتوآند به کار گرفته شد. خلاصه مشاهدات ذکر شده در جدول شماره ۲ آمده است.

در روش رسوب‌دهی الکتروفورتیک با ید نانوذرات  $TiO_2$  باردار و دارای بار مثبت شوند. از استون به عنوان پروتون دهنده در سوسپانسیون و باردار کردن نانوذرات  $TiO_2$  استفاده می‌شود. استون دارای گروه کربونیل (الکترون‌کشندگی) است که این گروه تمام الکترون‌های کربن متصل به  $CH_3$  را به سمت خودش می‌کشد و کربن را دارای بار مثبت کرده و  $H$  های متصل به کربن نیز دارای بار مثبت می‌شوند. بنابراین باید برای جدا سازی  $H$  مثبت‌های متصل به کربن از یک نوکلوفیل مانند  $I_2$  استفاده کرد بدین منظور،  $I_2$  وارد واکنش با استون شده تا به کربن متصل به  $CH_3$  حمله کند (زیرا نوکلوفیل‌ها تمایل به هسته دارای بار مثبت دارند و در اینجا هسته کربن بوده و به کربن حمله می‌کنند) و  $H^+$  را از آن جدا



شکل ۱- تغییرات pH سوسپانسیون شماره ۶ بر حسب غلوظت ید در سوسپانسیون



شکل ۲- تغییرات ضخامت پوشش اکسید تیتانیوم حاصل از رسوب دهی الکتروفورتیک بر حسب غلوظت ید در سوسپانسیون شماره ۶. پوشش دهی در ولتاژ ۳۰ ولت و به مدت ۳ دقیقه انجام شد

زیر لایه به خوبی پوشانده می‌شود. مقدار بهینه ید که پوششی یکنواخت با بیشترین ضخامت را حاصل کند برابر با ۸۵ میلی گرم بر لیتر انتخاب گردید. در ادامه از این غلوظت ید استفاده شد.

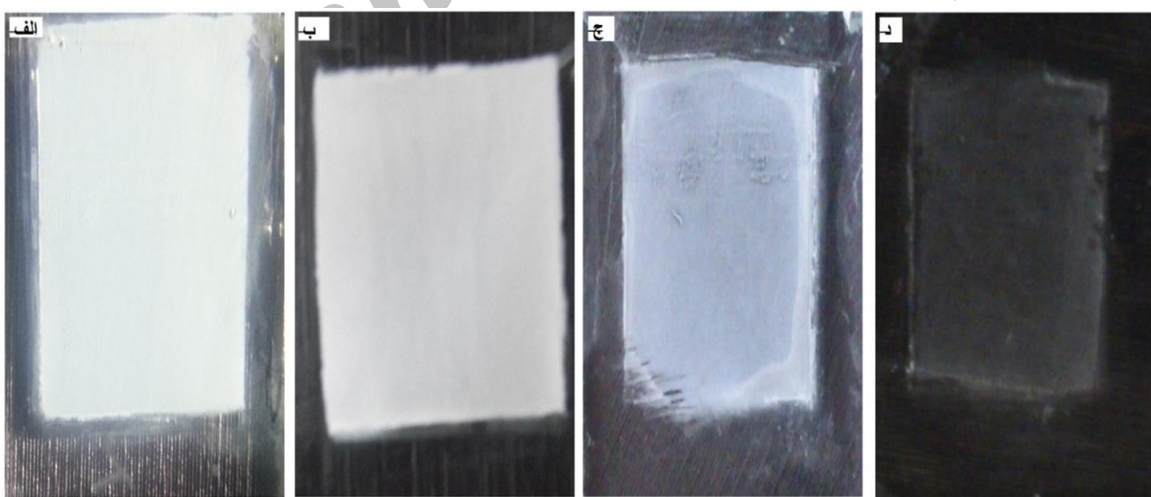
پارامتر دیگر که مورد بررسی قرار گرفت غلوظت آب در سوسپانسیون بود. آب دارای ثابت دی الکتریک بالا می‌باشد. رسانایی سوسپانسیون رابطه مستقیم با ثابت دی الکتریک

به علاوه، تحرک پذیری<sup>۱</sup> پروتون‌های آزاد از نانوذرات  $TiO_2$  باردار شده، بیشتر است. در نتیجه، افزایش غلوظت پروتون‌های آزاد، سبب کاهش مقدار ذرات  $TiO_2$  رسوب کرده و به دنبال آن کاهش ضخامت پوشش در مقدار زیاد ید می‌شود. همچنین، مشاهده گردید که پوشش به دست آمده از سوسپانسیون بدون ید ناپیوسته بوده به طوری که اثر زیر لایه کاملاً واضح بود، از سوی دیگر با افزایش مقدار ید در شرایط کاملاً یکسان، پوشش‌ها یکنواخت‌تر شده و

<sup>۱</sup>-Mobility

رسانایی حمام شده که نتیجه آن آگلومره شدن نانوذرات  $TiO_2$  در سوسپانسیون است. این آگلومره‌های شکل گرفته دارای حرک پذیری پایین‌تر نسبت به پروتون های آزاد در سیستم بوده که سبب می‌شود، ذرات خیلی کمی پروتون دار شده و بقیه پروتون‌ها به صورت آزاد در سیستم باقی بمانند[۱۳]. به منظور بررسی اثر ولتاژ اعمالی در حین فرآیند الکتروفورتیک، ۱۵ نمونه با سطح مقطع  $1 \times 1$  سانتی-متر مربع در ولتاژ‌های ۱۰، ۱۵، ۲۰، ۲۵ و ۳۰ ولت و زمان ثابت ۱ و ۳ و ۸ دقیقه و با استفاده از سوسپانسیون شماره ۶ و شرایط یکسان با این آزمایش آماده و ضخامت و وزن رسوب تشکیل شده روی زیر لایه FTO اندازه‌گیری و مورد مقایسه قرار گرفت. با افزایش ولتاژ سرعت حرکت نانوذرات در سوسپانسیون افزایش می‌یابد. شکل ۵ تأثیر ولتاژ فرایند پوشش‌دهی بر وزن پوشش‌های ایجاد شده را نشان می‌دهد. به منظور بررسی بهتر اثر ولتاژ فرایند پوشش‌دهی بر وزن پوشش، منحنی‌های مربوط به تغییرات وزن بر حسب ولتاژ پوشش‌دهی برای پوشش‌های  $TiO_2$  نشان داده شده است. در واقع با افزایش ولتاژ، نیروی محرکه موجود برای حرکت ذرات باردار معلق در سوسپانسیون به سمت الکترود با بار مخالف افزایش می‌یابد که منجر به افزایش وزن رسوب ایجاد شده در ولتاژ‌های بالا می‌گردد.

حلال داشته و با افزایش آن افزایش می‌یابد[۱۳]. کم بودن ثابت دی الکتریک حلال سبب رسوب نانو ذرات  $TiO_2$  می‌شود. از طرفی نیز، ثابت دی الکتریک بالای حلال سبب افزایش غلظت یونی محلول و در نتیجه کاهش اندازه لایه دوگانه الکتریکی اطراف نانوذره شده و به دنبال آن تحرک پذیری الکتروفورتیک را کاهش می‌دهد. همچنین، این امر سبب کاهش نیروی دافعه بین ذرات شده و آگلومره شدن ذرات را ارتقاء بخشیده و سبب می‌شود، رسوب ضعیف ایجاد و یا اصلا رسوبی تشکیل نشود. شکل‌های ۳ و ۴ به ترتیب تصاویر ماکروسکوپی و میکروسکوپی پوشش‌های حاصل از سوسپانسیون با مقادیر مختلف آب را نشان می‌دهد. همانطور که در تصاویر مشاهده می‌شود، پوشش حاصل از سوسپانسیون بدون آب کاملاً غیر یکنواخت بوده و بر جستگی‌های روی پوشش کاملاً مشخص است. بهترین پوشش، همان‌گونه که انتظار می‌رفت از سوسپانسیون حاوی مقدار بهینه‌ی آب (۳ میلی‌لیتر بر لیتر) به دست آمد که سطح پوشش کاملاً صاف و یکنواخت می‌باشد. با افزایش مقدار آب، پوشش غیر یکنواخت و ناپیوسته شده، به‌گونه‌ای که در مقدار آب ۸۰ میلی‌لیتر بر لیتر تقریباً دیگر هیچ پوششی روی سطح تشکیل نشد و زیر لایه به راحتی قابل رویت بود. علت را می‌توان هیدرولیز آب و آزادسازی گاز هیدروژن دانست که چرخش گاز هیدروژن سبب منقطع شدن رسوب تشکیل شده بر روی سطح می‌شود. همچنین مقدار زیاد آب در سوسپانسیون، سبب افزایش بیش از حد

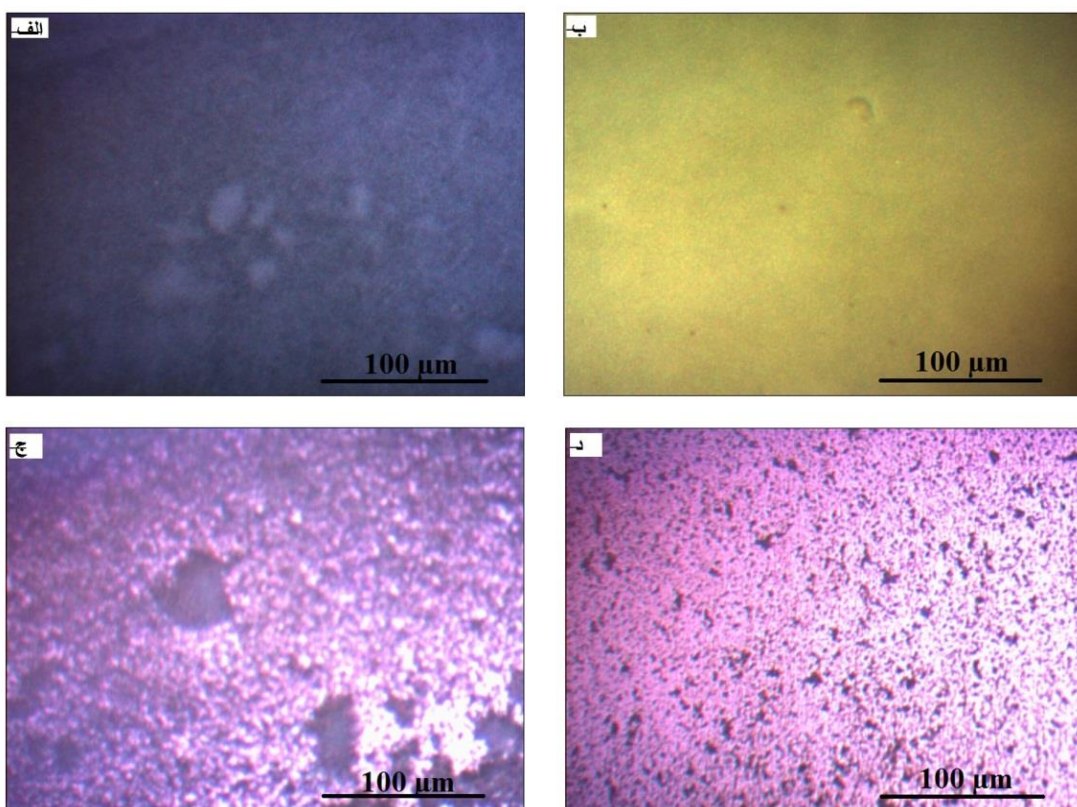


شکل ۳- تصاویر ماکروسکوپی گرفته شده از سطح پوشش اکسید تیتانیوم حاصل از رسوب دهی الکتروفورتیک با استفاده از سوسپانسیون شماره ۶ با مقادیر مختلف آب. (الف) بدون آب، (ب) ۳ میلی‌لیتر بر لیتر، (ج) ۴۰ میلی‌لیتر بر لیتر، (د) ۸۰ میلی‌لیتر بر لیتر

سلول خورشیدی حساس شده با رنگینه استفاده گردید. بدین منظور از پوشش‌های ایجاد شده در ولتاژ الکتروفورتیک ۳۰ ولت و در زمان‌های پوشش دهی ۱، ۳، ۸ و ۱۲ دقیقه استفاده شد. منحنی جریان-ولتاژ این سلول‌ها در شکل ۷ رسم شده است. پارامترهای فتوولتاییک سلول‌ها نظیر جریان مدار کوتاه، ولتاژ مدار باز، ضریب پرشوندگی و بازده تبدیل انرژی از این نمودار استخراج و برای مقایسه در جدول ۳ آمده است. همان‌گونه که مشاهده می‌شود، بیشترین جریان مدار کوتاه و بازده تبدیل انرژی مربوط به پوشش الکتروفورتیک شده در مدت زمان ۸ دقیقه می‌باشد. مطابق شکل ۶، ضخامت نمونه حاصل از این مدت زمان الکتروفرتیک برابر ۱۳ میکرومتر است که به عنوان ضخامت بهینه برای کاربرد در سلول خورشیدی حساس شده با رنگینه شناخته شد.

افزایش ولتاژ از یک طرف، باعث افزایش نیروی اعمالی به ذرات در میدان الکتریکی شده و در نتیجه ذرات بیشتری به سطح الکترود رسیده و در آنجا رسوب می‌نماید و از سوی دیگر، باعث می‌شود تا ذرات درشت‌تر که احتمالاً به صورت آگلومره در سوسپانسیون وجود دارند، بر روی زیرلایه رسوب کنند که این مطلب نیز سبب افزایش وزن رسوب می‌شود [۱۴]. طبق نظر ژیتمیرسکی، وزن رسوب در فرایند الکتروفرتیک نسبت مستقیم با غلظت ذرات جامد موجود در سوسپانسیون، تحرک پذیری نانوذرات در سوسپانسیون و اختلاف پتانسیل اعمالی و نسبت عکس با فاصله بین دو الکترود دارد [۱۵ و ۱۶].

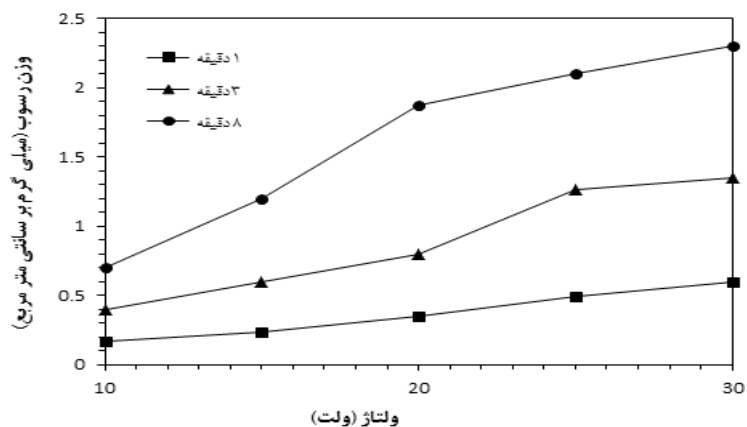
به منظور ارزیابی کارآیی پوشش‌های نانومتلخلخل اکسید تیتانیوم الکتروفرتیک شده از آن‌ها به عنوان فتوآند



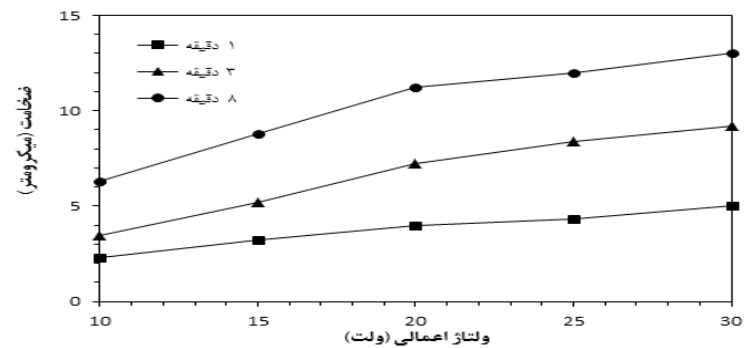
شکل ۴- تصاویر میکروسکوپ نوری گرفته شده از سطح پوشش اکسید تیتانیوم حاصل از رسوب دهی الکتروفرتیک با استفاده از سوسپانسیون شماره ۶ با مقادیر مختلف آب. (الف) بدون آب، (ب) ۳ میلی‌لیتر بر لیتر، (ج) ۴۰ میلی‌لیتر بر لیتر، (د) ۸۰ میلی‌لیتر بر لیتر

اتلاف الکترون و در نتیجه کاهش جریان مدار کوتاه با افزایش ضخامت لایه فعال  $TiO_2$  می‌شود. فیلم‌های ضخیم  $TiO_2$  اگرچه باعث تولید جریان‌های بالاتر بخارط جذب بیش‌تر رنگینه روی سطح فیلم می‌شوند، اما فیلم‌های با ضخامت زیاد دارای تعداد زیادی سایت‌های بازترکیب/عیب هستند. لذا کاهش در عملکرد سلول خورشیدی حساس شده با رنگینه به علت افزایش سایت‌های عیب با افزایش ضخامت سطح فعال  $TiO_2$  می‌باشد. تصویر میکروسکوپ الکترونی روبشی پوشش نانومتلخلخل  $TiO_2$  ساخته شده با نانوذرات  $TiO_2$  در مقاله قبلی نویسنده این مقاله آمده است که نشان می‌دهد، حفرات نانومتری بین نانوذرات ایجاد شده که سبب جذب بالای رنگینه می‌گردد [۱۷].

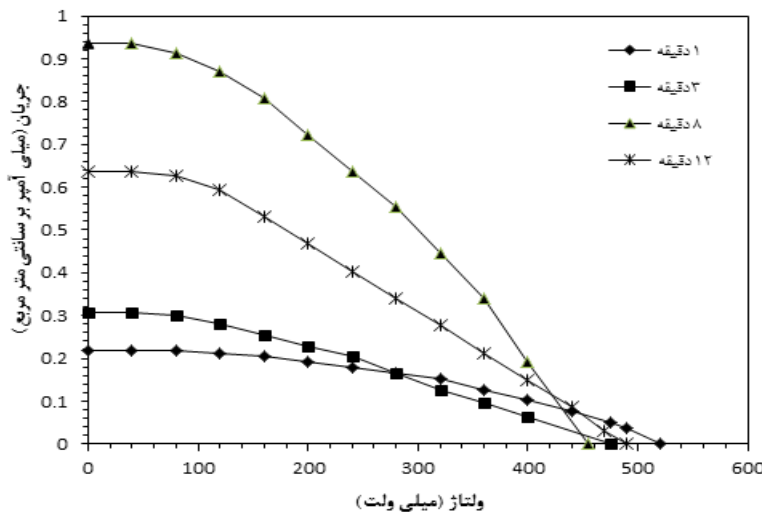
زمان انجام واکنش پارامتری مهم و تاثیر گذار بر خواص فیلم فتوآنده ساخته شده از سوسپانسیون می‌باشد. با گذشت زمان، ذرات بیشتری از درون سوسپانسیون به سطح الکترود باار مخالف رسیده و بر روی زیرلایه رسوب می‌نمایند که نتیجه آن افزایش ضخامت فیلم  $TiO_2$  بوده است. افزایش در ضخامت فیلم فتوآنده به طور مستقیم، سبب افزایش سطح ویژه فعال پوشش‌های نانومتلخلخل  $TiO_2$  شده که نتیجه آن افزایش میزان جذب رنگینه خواهد بود. بنابراین با ضخیم‌تر شدن فیلم، فوتون‌های بیش‌تری روی سطح جذب شده و نتیجه آن افزایش جریان مدار کوتاه خواهد بود. با این حال اگر ضخامت فیلم بزرگ‌تر از عمق نفوذ الکترون شود، شمار فوتون‌های مفید برای تزریق الکترون‌ها به یک مقدار محدود خواهد رسید. باز ترکیب الکترون‌ها، باعث



شکل ۵- تغییرات وزن پوشش تشکیل شده بر حسب ولتاژ اعمالی



شکل ۶- تغییرات ضخامت پوشش تشکیل شده بر حسب ولتاژ اعمالی



شکل ۷- منحنی جریان-ولتاژ سلول های خورشیدی ساخته شده با فتوآند حاصل از فرآیند الکتروفورتیک با سوسپانسیون شماره ۶، در ولتاژ ۳۰ ولت و مدت زمان های مختلف

جدول ۳- پارامتر های فوتولتاییک مستخرج از منحنی جریان-ولتاژ ترسیم شده در شکل ۷.

زمان (دقیقه)	جریان مدار کوتاه (میلی آمپر بر سانتیمتر مربع)	ولتاژ مدار باز (میلی ولت)	ضریب پرشوندگی (%)	بازده (%)
۱	۰/۲۱	۵۲۰	۰/۴۴	۰/۰۴
۳	۰/۳۰	۴۷۵	۰/۳۴	۰/۰۵
۸	۰/۹۳	۴۵۵	۰/۳۶	۰/۱۸
۱۲	۰/۶۳	۴۹۰	۰/۳۲	۰/۱۱

به دست آمد. با افزایش ولتاژ و زمان رسوب‌گذاری ضخامت پوشش افزایش نشان داد. از پوشش های بدست آمده در

ساخت فتوآند سلول خورشیدی حساس شده با رنگینه استفاده شد. بهترین کارآیی را پوشش ایجاد شده در مدت زمان ۸ دقیقه و ولتاژ ۳۰ ولت از خود نشان داد.

### سپاسگذاری

از دانشگاه صنعتی شیراز و بنیاد ملی نخبگان برای حمایت مالی این پژوهش تشکر و قدردانی می‌گردد.

### References:

- Wei, M. D., Konishi, Y., Zhou, H. S., Yanagida, M., Sugihara, H., Arakawa, H., Highly Efficient Dye-Sensitized Solar Cells Composed of Mesoporous Titanium

### نتیجه گیری

در این مقاله تاثیر شیمی محصول سوسپانسیون نانوذرات اکسید تیتانیوم بر پایداری پوسپانسیون و امکان ایجاد پوشش اکسید تیتانیوم مورد بررسی قرار گرفت. سوسپانسیون شماره ۶ که حاوی یدف استون، استیل استون و آب در حلal ایزوپروپانول بود، بهترین پایداری را نشان داد و با استفاده از آن طی چند دقیقه پوشش یکنواخت و با میزان پوشندگی کامل زیرلایه رسوب‌گذاری شد. همچنین تاثیر غلظت ید و آب بر وزن و ضخامت رسوب ایجاد شده مورد بررسی قرار گرفت و مقادیر بهینه آن به ترتیب برابر با ۸۵ میلی گرم بر لیتر و ۳ میلی لیتر

Dioxide, Journal of Materials Chemistry, 16, 1287-1293, 2006.

2- Murakami, T., Grätzel, M., Counter Electrode for DSSC: application of

- functional materials as catalysts, *Inorganica Chimica Acta*, 361, 572-580, 2008.
- 3- Zukalova, M., Zukal, A., Kavan, L., Nazeeruddin, M.K., Liska, P., Gratzel, M, Voltage Enhancement in Dye-Sensitized Solar Cell Using Oriented Anatase TiO<sub>2</sub> Nanosheets, *Nano Letters*, 5, 1789-1792, 2005.
- ۴- کریمی، ل، میرجلیلی، م، نانو دی اکسید تیتانیوم روش - های تولید و کاربرد آن، ماهنامه فناوری نانو، ۱۳۸۸.
- [۵] مشرقی، ع، بررسی اثر اندازه ذره بر پارامتر حجم به ازای اتم در نانوذرات اکسید تیتانیوم، مجله مواد نوین، جلد ۸، شماره ۱، ص ۹۰-۸۱، پاییز ۱۳۹۶.
- 6- Besra, L., Liu, M., Review on Fundamentals and Applications of Electrophoretic Deposition (EPD), *Progress in Materials Science*, 52, 1-61, 2007.
- 7- Corni,I., Ryan, M.P., Boccaccini, A.R., Electrophoretic Deposition: from Traditional Ceramic to Nanotechnology, *Journal of the European Ceramic Society*, 28, 1353-1367, 2008.
- 8- Matthews, D., Kay,A., Gratzel, M., Electrophoretically deposited Titanium dioxide Thin Films for photovoltaic cells, *Australlian Journal of Chemistry*, 47, 1869-1877, 1994.
- 9- Sakka, Y., Uchikoshi, T., Forming and Microstructure Control of Ceramics by Electrophoretic Deposition (EPD), *KONA Powder and Particle Journal*, 28, 74-90, 2010.
- 10- Wirat, J., Samuk, P., Santi, M., Ekaphan, S., Vittaya, A., Optimization of Titanium dioxide film prepared by Electrophoretic deposition for Dye-sensitized solar cell application, *Thin solid films*, 517, 4663-4667, 2009.
- 11- Hsin-Wei, Ch., Chih-Peng, L., Hou-Sheng, H., Jian-Ging, Ch., Vittal, R., Chia-Yu, L., Electrophoretic deposition of mesoporous TiO<sub>2</sub> nanoparticles consisting of primary anatase nanocrystallites on a plastic substrate for flexible Dye-sensitized solar cells, *Chemical Communications*, 47, 8346-8348, 2011.
- 12- Mashreghi, A., Davoudi, F., Effect of TiO<sub>2</sub> nanoparticle content in sol-gel derived TiO<sub>2</sub> paste on the photovoltaic properties of TiO<sub>2</sub> photoanode of dye-sensitized solar cells, *Materials Science in Semiconductor Processing*, 26, 669-676, 2014.
- 13- Maria, J.S., Francisco ,M., Quaranta, N., Boccaccini, R., Characterization of TiO<sub>2</sub> Nanoparticle suspensions for Electrophoretic deposition, *Journal of Nanopart*, 10, 787-793, 2008.
- 14- Lee, S.H., Photocatalytic Nanocomposites based on TiO<sub>2</sub> and Carbon nanotubes, Ph.D. Thesis. The University of Florida, 2004.
- 15- Javidi, M.,Javadpour, Bahrololoom, M.E., Electrophoretic Deposition of Natural Hydroxyapatite on Medical Grade 316L Stainless Steel , *Materials Science and Engineering*, 28, 1509-1515, 2008.
- 16- Zhitomirsky, I., Gal-or, L., Electrophoretic deposition of hydroxyapatite, *Journal of Materials Science: Materials in Medicine*, 8, 9-213, 1997.
- 17- Mashreghi, A., Ghasemi, M., Investigating the effect of molar ratio between TiO<sub>2</sub> nanoparticles and titanium alkoxide in Pechini based TiO<sub>2</sub> paste on photovoltaic performance of dye-sensitized solar cells, *Renewable Energy*, 75, 481-488, 2015.